

## РЕЛЯТИВИСТСКИЕ ПОПРАВКИ К ЗАРЯДОВОМУ ФОРМФАКТОРУ ДЕЙТОНА ПРИ БОЛЬШИХ ПЕРЕДАННЫХ ИМПУЛЬСАХ

*В.М.Музаров, В.Е.Троицкий, Ю.М.Широков*

Для зарядового формфактора дейтона  $G_c^d$  используется интегральное представление в терминах фаз триплетного  $n\text{-}p$ -рассеяния. Проведен полный учет релятивистских поправок к  $G_c^d$ . Показано, что они дают существенный вклад в  $G_c^d$  при больших переданных импульсах. Отмечается возможность пренебрежения эффектом поворота спина.

Последние результаты Стэнфордского эксперимента по измерению сечения упругого  $ed$ -рассеяния, проделанные в области квадратов переданного импульса  $q^2$  до  $160 \text{ ф}^{-2}$  [1] инспирировали возрастающий интерес к релятивистскому описанию  $ed$ -рассеяния. Расчеты в рамках нерелятивистских потенциальных моделей с последующим учетом ре-

релятивистских поправок не позволяют удовлетворительно описать  $ed$ -рассеяние при таких больших  $q^2$ . Для дальнейшего прогресса в теории  $ed$ -рассеяния необходимо создание последовательно релятивистского подхода. Определенные надежды на создание такого подхода связывались с дисперсионными методами. Однако к настоящему времени стало ясно, что на таком пути трудно получить надежные количественные результаты при больших  $q^2$ .

В работе [2] одним из авторов был предложен новый возможный подход к построению последовательно релятивистской теории  $ed$ -рассеяния. Дальнейшее развитие этого подхода и его возможности отражены в обзоре [3]. В данной работе в рамках этого подхода исследовалось влияние релятивистских эффектов на  $G_c^d$  при  $q^2$  до  $300 \text{ fm}^{-2}$ . Используемое нами релятивистское интегральное представление для  $s$ -волнового формфактора  $G_c^d$  имеет вид [4]

$$G_c^d(q^2) = \frac{\Gamma^2}{B^2(M_D^2)} \int_{4M^2}^{\infty} \frac{ds \Delta(s)}{s - M_D^2} \int_{s_1(s,t)}^{s_2(s,t)} \frac{ds' \Delta(s') F(s,s',t)}{s' - M_D^2} \quad (1)$$

где  $(-t) = q^2$ . Функция  $B(s)$  является релятивистским аналогом нерелятивистской функции Йоста и выражается через  ${}^3S_1$ -фазу триплетного  $n$ - $p$ -рассеяния квадратурной формулой

$$B(s) = \left( 1 - \frac{M_D^2 - 4M^2}{s - 4M^2} \right) \exp \left\{ \frac{1}{\pi} \int_{-\infty}^{\infty} \frac{dk \delta(k)}{k - \sqrt{s} - i0} \right\}. \quad (2)$$

Величина  $\Delta(s) = B(s + i0) - B(s - i0)$  определяет скачок функции Йоста на разрезе. Функция  $F(s, s', t)$  представляет электромагнитный ток невзаимодействующей  $n$ - $p$ -системы:

$$F(s, s', t) = \frac{(s + s' - t)(-t)}{\sqrt{(s - 4M^2)(s' - 4M^2)}} \frac{1}{\sqrt{\lambda^3(1 - t/4M^2)}} \times \\ \times \left\{ 2(s + s' - t) \cos \phi G_{EN}^s(q^2) + \frac{1}{M} \sqrt{(-1)(M^2 \lambda + ss' t)} \sin \phi G_{MN}^s(q^2) \right\}, \\ \phi = \arctg \left\{ \frac{\sqrt{(-1)(M^2 \lambda + ss' t)} (4M^2 - t - \alpha^2)}{M(s + s' - t)\alpha^2 + (4M^2 - t)[M(s + s' - t) + 2\sqrt{ss'}\alpha]} \right\},$$

$$\alpha = \sqrt{s} + \sqrt{s'} + 2M,$$

$$\lambda = s^2 + s'^2 + t^2 - 2(ss' + st + s't). \quad (3)$$

Пределы интегрирования в (1), определяющие положение аномального порога дейтона, даются выражением

$$s_{2,1}(s, t) = 2M^2 + (1/2M^2)(2M^2 - t)(s - 2M^2) \pm (1/2M^2)\sqrt{(-t)(4M^2 - t)s(s - 4M^2)} .$$

В формулах (1) – (3)  $M$  и  $M_D$  равны массам нуклона и дейтона соответственно,  $G_{EN}^s$  и  $G_{MN}^s$  обозначают изоскалярные формфакторы нуклона, а константа  $\Gamma$  определяется условием  $G_c^d(0) = 1$ . Делая в (1) – (3) переход к нерелятивистскому пределу, мы можем получить аналогичное (1) представление для нерелятивистского  $G_c^d$ .

При численных расчетах формфакторов было использовано дипольное приближение для  $G_{EP}$  и скейлинговые соотношения для  $G_{MP}$ ,  $G_{Mn}$ . Формфактор  $G_{En}$  полагался равным нулю. Входящие в (2)  ${}^3S_1$ -фазы выбирались при  $k < 2$ ,  $2\phi^{-1}$  по данным фазового анализа [5]. При  $k > 2,2\phi^{-1}$  имеющиеся данные фазового анализа плохо определены [6]. Поэтому при  $k$  от 4,2 до  $11,7\phi^{-1}$  использовались имеющиеся в этой области результаты высокoenергетического амплитудного редже-анализа [7]. Выделенные нами по Редже-амплитудам  ${}^3S_1$ -фазы показаны на рис. 1. В промежуточной области по  $k$  фазы сшивались по непрерывности.

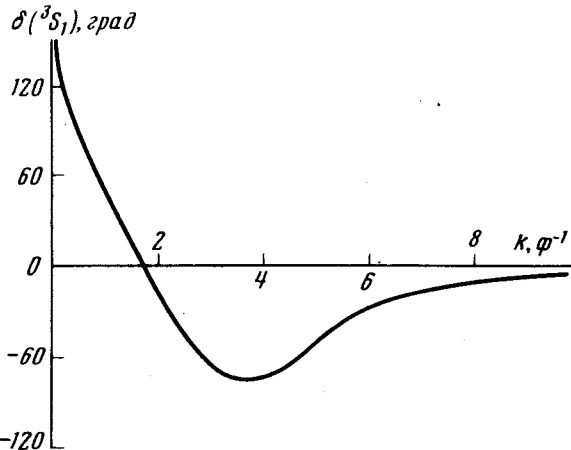


Рис.1. Набор  ${}^3S_1$ - фаз, используемых при вычислении формфакторов

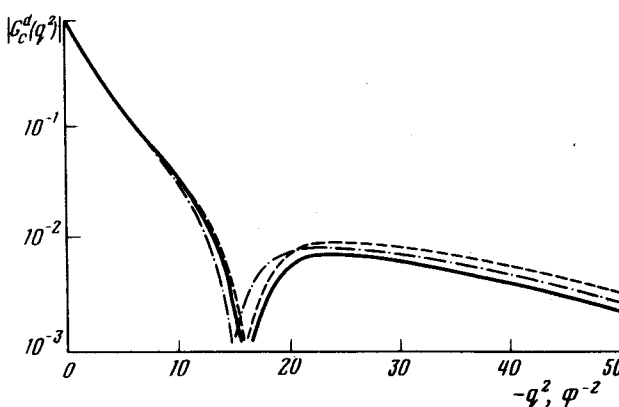


Рис.2. Полученные результаты для релятивистского (пунктирная линия) и нерелятивистского (сплошная линия) формфакторов. Для сравнения приведен график нерелятивистского формфактора  $G_c^d$ , отвечающий потенциальному Рейда с мягким кором (штрих-пунктирная линия)

Полученные результаты для формфакторов показаны на рис. 2 и рис.3. Возможное изменение приведенных результатов за счет учета примеси D-волн оценивалось нами по волновым функциям Макги и составляет не более 15% при  $q^2$  до 300  $\text{fm}^{-2}$ . Некоторое изменение  $G_c^d$  за счет учета нефизических разрезов, вклад которых отбрасывался при получении формулы (1), также незначительно [8].

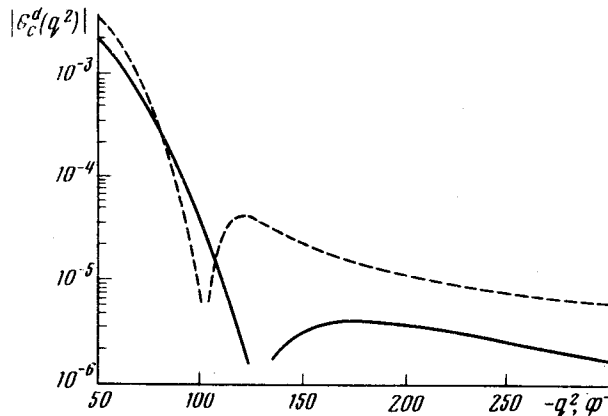


Рис.3. Обозначения те же, что и на рис.2

Итак, при больших  $q^2$  релятивистские поправки приводят к существенному изменению  $G_c^d$  по величине и смещают положение его "провалов". Важно, что это заключение делается нами на основе полного учета релятивистских поправок во всех порядках по  $q^2/M^2$ , в отличие от работ Гросса (см. например, [9]), где релятивистские поправки учитывались лишь в первом порядке по  $q^2/M^2$  (в связи с этим интересно было бы сравнить приводимые здесь результаты с расчетами также во всех порядках по  $q^2/M^2$  на основе предложенного в [10, 11] релятивистского аппарата инвариантных волновых функций). В области  $0 \leq q^2 \leq 30 \text{ fm}^{-2}$  малых переданных импульсов наши результаты аналогичны результатам Гросса. Проведенные расчеты показывают также, что релятивистские поправки, обусловленные наличием в (3) члена пропорционального  $G_{MN}^s$  (и имеющего чисто релятивистское происхождение) малы во всей области по  $q^2$ . То есть можно пренебречь эффектом релятивистского поворота спина.

Полный двухканальный релятивистский расчет как зарядового, так и магнитного и квадрупольного формфакторов осуществляется по схеме, аналогичной приведенной выше (и будет опубликован в наших последующих работах). Полезно отметить, что уже полученные здесь результаты для зарядового формфактора  $G_c^d$  могут иметь самостоятельный интерес при наличии экспериментальной информации о поляризационном упругом  $ed$ -рассеянии.

Институт ядерной физики  
Московского  
государственного университета  
им. М.В.Ломоносова

вступила в редакцию  
31 марта 1978 г.

## Литература

- [1] R.G.Arnold, et. al. Phys. Rev. Lett., 35, 776, 1975.
  - [2] Yu.M.Shirov. Nucl. Phys., B6, 158, 1968.
  - [3] А.И.Кириллов, В.Е.Троицкий, С.В.Трубников, Ю.М.Широков. ЭЧАЯ, 6, 3, 1975.
  - [4] V.I.Kukulin, V.E.Troitski, Yu. M.Shirov, S.V.Trubnikov. Phys. Lett., B39, 319, 1972.
  - [5] M.H.MacGregor, et. al. Phys. Rev., 182, 1714, 1969.
  - [6] N.Hoshizaki, et. al. Progr. Theor. Phys., 45, 1123, 1971.
  - [7] D.Austin, et al. Phys. Rev., D2, 2613, 1970.
  - [8] А.И.Кириллов, В.Е.Троицкий. ЯФ, 25, 288, 1977.
  - [9] F.Gross. Phys. Rev., 142, 1025, 1966.
  - [10] И.С.Шapiro. Письма в ЖЭТФ, 18, 650, 1973.
  - [11] В.А.Карманов. Письма в ЖЭТФ, 23, 62, 1976.
-